

文章编号: 1001-9081(2012)10-2745-03

doi: 10.3724/SP.J.1087.2012.02745

二维双曲守恒律标量方程的三阶 CWENO-型熵相容算法

郑素佩^{1*}, 封建湖¹, 刘彩侠²

(1. 长安大学 理学院, 西安 710064; 2. 河南工业大学 理学院, 郑州 450001)

(* 通信作者电子邮箱 zspnwp@ gmail.com)

摘要: 应用提出的中心加权基本无振荡(CWENO)-型熵相容格式求解了二维双曲守恒律方程初边值问题, 对所得数值结果进行了分析与讨论, 并通过与准确解的比较发现该数值求解格式稳定性条件可以取到 0.6, 而激波过渡带只有 1~2 个网格单元。实验结果表明该数值求解格式分辨率高且数值稳定性好。

关键词: 熵守恒格式; 熵相容格式; 三阶优化龙格库塔方法; 半离散; 双曲守恒律

中图分类号: TP301.6; TP391.4 **文献标志码:**A

CWENO-type entropy consistent scheme for two-dimensional scalar hyperbolic conservation laws

ZHENG Su-pei^{1*}, FENG Jian-hu¹, LIU Cai-xia²

(1. School of Science, Chang'an University, Xi'an Shaanxi 710064, China;
2. School of Science, Henan University of Technology, Zhengzhou Henan 450001, China)

Abstract: This paper advanced the Central Weighted Essentially Nonoscillatory (CWENO)-type entropy consistent schemes to simulate the two-dimensional conservation laws of the initial boundary value problem. The numerical results were analyzed and compared with the exact solutions. It is pointed out that the courant-friedrich-lewy can attain 0.6 and shock transition zone is one or two cells. The results indicate that the new numerical method in this paper has high-resolution and strong stability.

Key words: entropy conservative schemes; entropy consistent schemes; third order optimal Runge-Kutta method; semi-discrete; hyperbolic conservation laws

0 引言

二维双曲守恒律标量方程:

$$u_t + f(u)_x + g(u)_y = 0 \quad (1)$$

其中 $u \in \mathbf{R}$ 。对该类方程的数值求解, 即便在初始条件充分光滑的情况下, 解在某一时刻也会出现间断^[1-2], 因而如何准确捕捉间断是该类方程数值求解研究的核心内容。近年来出现了多种高精度、高分辨率的数值求解格式, 如基本无振荡 (Essentially Non-Oscillatory, ENO) 和加权基本无振荡 (Weighted Essentially Non-Oscillatory, WENO)^[1-2], CWENO^[3], 中心-迎风类格式^[4]等。为准确捕捉间断且有效抑制间断区域非物理振荡的产生, 这些格式均引入了一定的数值粘性。为构造出更符合物理特征的数值求解格式, Tadmor^[5]首次提出了熵格式的概念。后来由 Tadmor^[6], LeFloch 等^[7], Lukáčová 等^[8-11]对熵相容、熵稳定格式进行了进一步研究。国内茅德康教授^[12-13]、封建湖教授^[14]课题组也对该类格式进行了探讨, 构造了行之有效的熵稳定(耗散)格式。

本文针对二维双曲守恒律标量方程的数值求解, 构造出新的 CWENO-型熵相容格式, 最后通过若干数值算例验证了该格式的有效性。从数值结果可以看出该数值求解格式数值稳定性好, 可以准确捕捉间断, 且能有效地抑制非物理振荡的

产生。

此外, 本文采用的 CWENO 重构无需黎曼解算器和特征值分解(方程组问题), 算法易于编程实现。

1 格式构造

为简单起见, 本文空间方向采用均匀网格, 记:

$$\begin{aligned} I_{ij} &= \left[x_{i-\frac{1}{2}}, x_{i+\frac{1}{2}} \right] \times \left[y_{j-\frac{1}{2}}, y_{j+\frac{1}{2}} \right] \\ \Delta x &= x_{i+\frac{1}{2}} - x_{i-\frac{1}{2}} \\ \Delta y &= y_{j+\frac{1}{2}} - y_{j-\frac{1}{2}} \\ \bar{u}_{ij}(t) &= \frac{1}{\Delta x \Delta y} \int_{y_{j-\frac{1}{2}}}^{y_{j+\frac{1}{2}}} \int_{x_{i-\frac{1}{2}}}^{x_{i+\frac{1}{2}}} u(x, y, t^n) dx dy \end{aligned}$$

假定在 t^n 时刻单元 I_{ij} 的函数均值 $\{\bar{u}_{ij}\}$ 已知。令 $\chi_l(x, y)$ 为单元 I_l 上的特征函数, 构造分段多项式 $\tilde{u}(x, y, t^n) := \sum_l \tilde{z}_{ij}(x, y) \chi_l$, 其中 $z = \{x, y\}$, $l = \{i, j\}$, $P_{ij}^z(x, y)$ 是某一确定幂次的插值多项式。记:

$$\begin{aligned} u_{i+\frac{1}{2}, j}^+ &:= P_{i+1, j}^x(x_{i+\frac{1}{2}}, y_j) \\ u_{i+\frac{1}{2}, j}^- &:= P_{i, j}^x(x_{i+\frac{1}{2}}, y_j) \\ u_{i, j+\frac{1}{2}}^+ &:= P_{i, j+1}^y(x_i, y_{j+\frac{1}{2}}) \\ u_{i, j+\frac{1}{2}}^- &:= P_{i, j}^y(x_i, y_{j+\frac{1}{2}}) \end{aligned}$$

收稿日期: 2012-04-05; 修回日期: 2012-05-21。

基金项目: 国家自然科学基金资助项目(11171043); 中央高校基本科研业务费资助项目(CHD2012TD015; CHD2010JC060)。

作者简介: 郑素佩(1978-), 女, 河南许昌人, 讲师, 博士, 主要研究方向: 偏微分方程数值解法、计算流体力学; 封建湖(1960-), 男, 陕西子洲人, 教授, 博士, 主要研究方向: 偏微分方程数值解法、计算流体力学、图像处理; 刘彩侠(1978-), 女, 河南夏邑人, 讲师, 硕士, 主要研究方向: 偏微分方程数值解法、空气动力学。

这些量表示单元 I_{ij} 边界上 $\tilde{u}(x, y, t^n)$ 的值。

1.1 熵相容格式

本节介绍二维双曲守恒律方程熵相容格式的构造过程,先介绍相关概念,然后介绍格式的构造过程。

1.1.1 相关概念

定义^[6] 如果存在一个凸函数 $E: \mathbf{R}^n \rightarrow \mathbf{R}$ 和函数 $F: \mathbf{R}^n \rightarrow \mathbf{R}$,使得对所有的 $u \in \mathbf{R}^n$,均有 $(F'(u))^T = (E'(u))^T f'(u)$,则 (E, F) 称为双曲型守恒律方程的一组熵对。 E 称为熵函数, F 称为熵通量。而熵势 ψ 满足:

$$\psi(v(u)) = v(u)f(u) - F(u), \text{且 } \psi'(v) = f(v) \quad (2)$$

其中 v 表示熵变量,且 $v(u) = E'(u)$ 。

对二维标量方程(1), x, y 方向的熵函数可取为 $E^x = E^y = u^2/2$ (详见文献[6])(上标 x, y 表示两个空间方向,下同),则对应的熵变量 $v^x(u) = v^y(u) = E'(u) = u$ 。依据该定义,下面分别推导出当方程(1)中通量函数 $f(u), g(u)$ 不同时对应的熵通量和熵势表达式。

当 $f(u) = g(u) = \frac{u^2}{2}$ 时,熵通量 $F(u) = G(u) = \frac{u^3}{3}$,熵

$$\text{势 } \psi^x(u) = \psi^y(u) = u \times \frac{u^2}{2} - \frac{u^3}{3} = \frac{u^3}{6}.$$

当 $f(u) = g(u) = -\frac{u^2}{2}$,此时熵通量 $F(u) = G(u) = -\frac{u^3}{3}$,熵势 $\psi^x(u) = \psi^y(u) = -u \times \frac{u^2}{2} + \frac{u^3}{3} = -\frac{u^3}{6}$ 。

1.1.2 格式构造

对二维双曲守恒律标量方程(1),其半离散格式为:

$$\frac{d\bar{u}_{ij}}{dt} = -\frac{H_{i+1/2,j}^x - H_{i-1/2,j}^x}{\Delta x} - \frac{H_{i,j+1/2}^y - H_{i,j-1/2}^y}{\Delta y} := L_{ij}(u_{ij}) \quad (3)$$

基于文献[3, 9],本文构造出二维双曲守恒律方程的三阶 CWENO- 型熵相容格式,该格式的数值通量函数 $H_{i+1/2,j}^x, H_{i,j+1/2}^y$ 的表达式如下:

$$H_{i+1/2,j}^x = f_{i+1/2,j}^{EC} - \frac{1}{4} |u_{i+1/2,j}^+ + u_{i+1/2,j}^-| (u_{i+1/2,j}^+ - u_{i+1/2,j}^-) - \frac{1}{12} |u_{i+1/2,j}^+ - u_{i+1/2,j}^-| (u_{i+1/2,j}^+ - u_{i+1/2,j}^-) \quad (4)$$

$$H_{i,j+1/2}^y = f_{i,j+1/2}^{EC} - \frac{1}{4} |u_{i,j+1/2}^+ + u_{i,j+1/2}^-| (u_{i,j+1/2}^+ - u_{i,j+1/2}^-) - \frac{1}{12} |u_{i,j+1/2}^+ - u_{i,j+1/2}^-| (u_{i,j+1/2}^+ - u_{i,j+1/2}^-) \quad (5)$$

式(4)、(5) 中第一项为熵守恒数值通量函数,用于保证格式的熵守恒性,其具体的表达式如下(详见文献[9]),

$$f_{i+1/2,j}^{EC} = \frac{\psi^x(u_{i+1/2,j}^+) - \psi^x(u_{i+1/2,j}^-)}{u_{i+1/2,j}^+ - u_{i+1/2,j}^-}$$

$$f_{i,j+1/2}^{EC} = \frac{\psi^y(u_{i,j+1/2}^+) - \psi^y(u_{i,j+1/2}^-)}{u_{i,j+1/2}^+ - u_{i,j+1/2}^-}$$

针对不同类型方程熵势 ψ 的具体表达式详见 1.1.1 节,而 $u_{i+1/2,j}^+, u_{i+1/2,j}^-, u_{i,j+1/2}^+, u_{i,j+1/2}^-$ 的求解公式参见 1.2 节。式(4)、(5) 中的第二、三项用来保证格式的熵相容性。

1.2 三阶 CWENO 格式

函数 $P_{ij}^z(x, y)$ 通过三个插值多项式 P_L^z, P_C^z, P_R^z 的凸组合来求得,其中 $z = \{x, y\}$ 。

$$P_{ij}^z(x) = \omega_L^z P_L^z + \omega_C^z P_C^z + \omega_R^z P_R^z \quad (6)$$

其中: $\omega_i^z \geq 0, \forall i \in \{L, C, R\}, \sum_i \omega_i = 1$ 。

具体地, $\omega_i^z = \frac{\alpha_i}{\sum_m \alpha_m}, \alpha_i^z = \frac{C_i}{(\varepsilon + IS_i)^p}$, 其中 $m, n \in \{L, C, R\}$ 。

为防止分母为零, ε 取为一个很小的正数,一般取 $\varepsilon = 10^{-6}$; p 为正整数,一般取 $p = 2$ 。为保证解在光滑区域具有三阶精度,取 $C_L = C_R = 1/4, C_C = 1/2$ 。 x, y 方向分别求解。

式(6) 中 $P_m^z, P_n^z, m, n \in \{L, C, R\}$ 的具体表达式如下,详细推导过程见文献[3]。

$$P_R^z(x) = \bar{u}_{ij}^n + \frac{\bar{u}_{i+1,j}^n - \bar{u}_{ij}^n}{\Delta x} (x - x_i)$$

$$P_L^z(x) = \bar{u}_{ij}^n + \frac{\bar{u}_{ij}^n - \bar{u}_{i-1,j}^n}{\Delta x} (x - x_i)$$

$$P_C^z(x) = \bar{u}_{ij}^n - \frac{\bar{u}_{i+1,j}^n - 2\bar{u}_{ij}^n + \bar{u}_{i-1,j}^n}{12} + \frac{\bar{u}_{i+1,j}^n - \bar{u}_{i-1,j}^n}{2\Delta x} (x - x_i) + \frac{\bar{u}_{i+1,j}^n - 2\bar{u}_{ij}^n + \bar{u}_{i-1,j}^n}{12\Delta x^2} (x - x_i)^2$$

$$P_R^z(y) = \bar{u}_{ij}^n + \frac{\bar{u}_{i,j+1}^n - \bar{u}_{ij}^n}{\Delta y} (y - y_j)$$

$$P_L^z(y) = \bar{u}_{ij}^n + \frac{\bar{u}_{ij}^n - \bar{u}_{i,j-1}^n}{\Delta y} (y - y_j)$$

$$P_C^z(y) = \bar{u}_{ij}^n - \frac{\bar{u}_{i,j+1}^n - 2\bar{u}_{ij}^n + \bar{u}_{i,j-1}^n}{12} + \frac{\bar{u}_{i,j+1}^n - \bar{u}_{i,j-1}^n}{2\Delta y} (y - y_j) + \frac{\bar{u}_{i,j+1}^n - 2\bar{u}_{ij}^n + \bar{u}_{i,j-1}^n}{12\Delta y^2} (y - y_j)^2$$

$IS_i^x, IS_j^y, i, j \in \{L, C, R\}$ 为光滑因子,其具体表达式如下:

$$IS_L^x = (\bar{u}_{ij}^n - \bar{u}_{i-1,j}^n)^2$$

$$IS_R^x = (\bar{u}_{i+1,j}^n - \bar{u}_{ij}^n)^2$$

$$IS_C^x = \frac{13}{3} (\bar{u}_{i+1,j}^n - 2\bar{u}_{ij}^n + \bar{u}_{i-1,j}^n)^2 + \frac{1}{4} (\bar{u}_{i+1,j}^n - \bar{u}_{i-1,j}^n)^2$$

$$IS_L^y = (\bar{u}_{ij}^n - \bar{u}_{i,j-1}^n)^2$$

$$IS_R^y = (\bar{u}_{i,j+1}^n - \bar{u}_{ij}^n)^2$$

$$IS_C^y = \frac{13}{3} (\bar{u}_{i,j+1}^n - 2\bar{u}_{ij}^n + \bar{u}_{i,j-1}^n)^2 + \frac{1}{4} (\bar{u}_{i,j+1}^n - \bar{u}_{i,j-1}^n)^2$$

1.3 TVD Runge-Kutta 方法

对双曲守恒律方程的半离散形式(式(3)),本文采用具有强稳定特点的优化三阶 TVD Runge-Kutta 方法^[1] 进行数值离散,具体表达式如下:

$$\begin{aligned} \bar{u}_{ij}^{(0)} &= \bar{u}_{ij}^n \\ \bar{u}_{ij}^{(1)} &= \bar{u}_{ij}^{(0)} + \Delta t L(\bar{u}_{ij}^{(0)}) \\ \bar{u}_{ij}^{(2)} &= \frac{3}{4} \bar{u}_{ij}^{(0)} + \frac{1}{4} \bar{u}_{ij}^{(1)} + \frac{1}{4} \Delta t L(\bar{u}_{ij}^{(1)}) \\ \bar{u}_{ij}^{(3)} &= \frac{1}{3} \bar{u}_{ij}^{(0)} + \frac{2}{3} \bar{u}_{ij}^{(2)} + \frac{2}{3} \Delta t L(\bar{u}_{ij}^{(2)}) \\ \bar{u}_{ij}^{n+1} &= \bar{u}_{ij}^{(3)} \end{aligned}$$

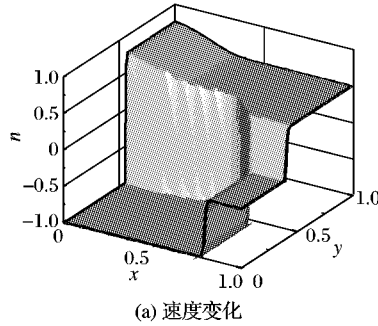
稳定性条件 $CFL \leq 1$ (CFL 条件数,即 Courant-Friedrichs-Lowy 条件数),其中 $CFL = \max_j (S_{ij}^n \frac{\Delta t}{\Delta x})$,而 S_{ij}^n 为 t^n 时刻单元 I_{ij} 上的最大传播速度。

2 数值算例

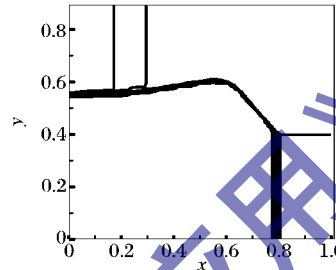
二维双曲守恒律标量方程, $f(u) = g(u) = -u^2/2$, 在满

足算例 1 所述初边值条件下问题的数值解。由式(4)得方程的 CWENO-型熵守恒通量函数如下。

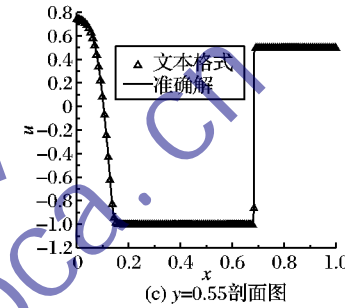
$$\begin{aligned} f_{i+1/2,j}^{EC} &= \frac{\psi^x(u_{i+1/2,j}^+) - \psi^x(u_{i+1/2,j}^-)}{u_{i+1/2,j}^+ - u_{i+1/2,j}^-} = \\ &- \frac{1}{6} \frac{(u_{i+1/2,j}^+)^3 - (u_{i+1/2,j}^-)^3}{u_{i+1/2,j}^+ - u_{i+1/2,j}^-} = \\ &- \frac{(u_{i+1/2,j}^+)^2 + u_{i+1/2,j}^+ u_{i+1/2,j}^- + (u_{i+1/2,j}^-)^2}{6} \\ f_{i,j+1/2}^{EC} &= \frac{\psi^y(u_{i,j+1/2}^+) - \psi^y(u_{i,j+1/2}^-)}{u_{i,j+1/2}^+ - u_{i,j+1/2}^-} = \\ &- \frac{1}{6} \frac{(u_{i,j+1/2}^+)^3 - (u_{i,j+1/2}^-)^3}{u_{i,j+1/2}^+ - u_{i,j+1/2}^-} = \end{aligned}$$



(a) 速度变化



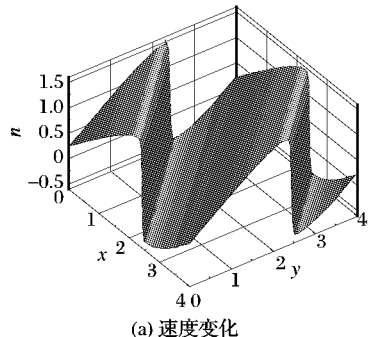
(b) 等值线图

图 1 算例 1 在 $t = 0.5$, $CFL = 0.6$ 时的云图、等值线图和剖面图

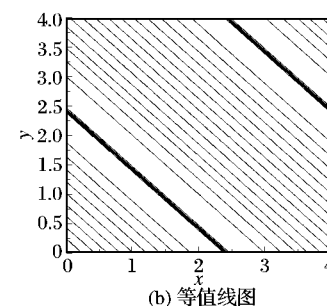
由图 1(a) 所示结果可以看出, 数值格式稳定, 在间断区域没有伪振荡产生。从图 1(b) 的等值线图可以看出, 数值结果激波过渡区域非常小, 表明该数值求解格式能准确捕捉间断, 激波过渡带很窄。图 1(c) 再次证实了该数值求解格式“锐利”捕捉激波的特点, 图 1(c) 中实线表示准确解(Exact, 下同), 小圆圈表示用 CWENO-型熵相容格式(CWENO Entropy Consistent, 下同)所得结果。

二维无粘 Burgers 方程, $f(u) = g(u) = u^2/2$, 在满足算例 2 所述初边值条件下问题的数值解。由式(4)得 Burgers 方程的 CWENO-型熵守恒通量函数为:

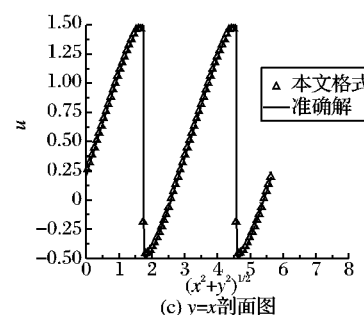
$$\begin{aligned} f_{i+1/2,j}^{EC} &= \frac{\psi^x(u_{i+1/2,j}^+) - \psi^x(u_{i+1/2,j}^-)}{u_{i+1/2,j}^+ - u_{i+1/2,j}^-} = \\ &\frac{1}{6} \frac{(u_{i+1/2,j}^+)^3 - (u_{i+1/2,j}^-)^3}{u_{i+1/2,j}^+ - u_{i+1/2,j}^-} = \\ &\frac{(u_{i+1/2,j}^+)^2 + u_{i+1/2,j}^+ u_{i+1/2,j}^- + (u_{i+1/2,j}^-)^2}{6} \\ f_{i,j+1/2}^{EC} &= \frac{\psi^y(u_{i,j+1/2}^+) - \psi^y(u_{i,j+1/2}^-)}{u_{i,j+1/2}^+ - u_{i,j+1/2}^-} = \end{aligned}$$



(a) 速度变化



(b) 等值线图



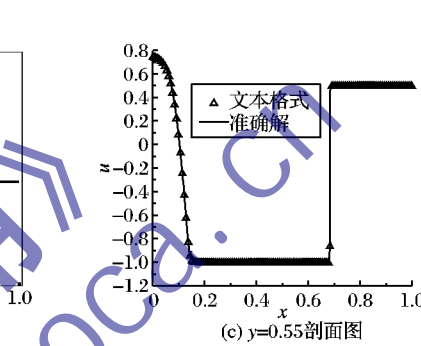
(下转第 2751 页)

将上面的表达式分别代入到式(4)、(5)中, 即得到用于求解双曲守恒律方程的 CWENO-型熵相容数值求解格式。

算例 1 双曲守恒律方程具有如下初边值条件的混合问题^[15]:

$$u(x,y,0) = \begin{cases} -1, & x < 0.5, y \leq 0.5 \\ -0.2, & x \geq 0.5, y \leq 0.5 \\ 0.5, & x \geq 0.5, y > 0.5 \\ 0.8, & x < 0.5, y > 0.5 \end{cases}$$

计算区域 $[0,1] \times [0,1]$, 边界条件满足 $\frac{\partial u}{\partial n} = 0$, 在 $t = 0.5$ 时刻的数值结果如图 1 所示。



将该式代入到式(4)、(5), 即得到用于求解 Burgers 方程的 CWENO-型熵相容数值求解格式。

算例 2 Burgers 方程具有如下初边值条件的混合问题^[13]:

$$u(x,y,0) = 0.5 + \sin \frac{\pi(x+y)}{2}$$

计算区域为 $[0,4] \times [0,4]$, 周期性边界条件, $t = 1.5/\pi$ 时刻的数值结果如图 2 所示。

从图 2(a) 可以看出, 所构造的数值求解格式不仅在光滑区域与准确解符合很好, 而且在间断区域能够准确捕捉间断, 且有效地防止了非物理振荡的产生。由等值线图(图 2(b))和 $y=x$ 剖面图(图 2(c), 图中线形表示同例 1)都可以看出该数值求解格式在间断区域能够准确捕捉间断, 数值抹平现象很少。

方式自适应地对系统进行恢复, 实现整个系统在不可靠通信信道下生存性的提高。

参考文献:

- [1] GUPTA B, RAHIMI S, YANG Y. A novel roll-back mechanism for performance enhancement of asynchronous checkpointing and recovery [J]. *Informatica*, 2007, 3(11): 1–13.
- [2] ELNOZAHY E N, ALVISI L, WANG Y M, et al. A survey of roll-back-recovery protocols in message-passing systems [J]. *ACM Computing Surveys*, 2002, 34(3): 375–408.
- [3] WANG Y M, CHUNG P Y, LIN I J, et al. Checkpoint space reclamation for uncoordinated checkpointing in message-passing systems [J]. *IEEE Transactions on Parallel and Distributed Systems*, 1995, 6(5): 546–554.
- [4] RUSCIO J F, HEFFNER M A, VARADARJAN S. DejaVu: Transparent user-level checkpointing, migration, and recovery for distributed systems [C]// SC'06: Proceedings of the 2006 ACM/IEEE Conference on Supercomputing. New York: ACM, 2006: 158.
- [5] MALONEY A, GOSCINSKI A. A survey and review of the current state of rollback-recovery for cluster systems [J]. *Concurrency and Computation: Practice and Experience*, 2009, 21(12): 1632–1666.
- [6] TRIPATHY M, TRIPATHY C R. A new coordinated checkpointing and rollback recovery scheme for distributed shared memory clusters [J]. *International Journal of Distributed and Parallel Systems*, 2011, 2(1): 49–58.
- [7] PRIYA S B, RAVICHANDRAN T. Fault tolerance and recovery for grid application reliability using check pointing mechanism [J]. *International Journal of Computer Applications*, 2011, 26(5): 32–37.
- [8] BOUTEILLER A, HERAULT T, BOSILCA G, et al. Correlated set coordination in fault tolerant message logging protocols [C]// Euro-Par'11: Proceedings of the 17th International Conference on Parallel Processing. Berlin: Springer-Verlag, 2011: 51–64.
- [9] CHANDY K M, LAMPORT L. Distributed snapshots: Determining global states of distributed systems [J]. *ACM Transactions on Computer Systems*, 1985, 3(1): 63–75.
- [10] ELNOZAHY E N, JOHNSON D B, ZWAENEPOEL W. The performance of consistent checkpointing [C]// Proceedings of the 11th Symposium on Reliable Distributed Systems. [S. l.]: IEEE, 1992: 39–47.
- [11] 魏晓辉, 鞠九滨. 分布式系统中的检查点算法 [J]. *计算机学报*, 1998, 21(4): 367–375.
- [12] 慈铁为, 张展, 左德承, 等. 可扩展的多周期检查点设置 [J]. *软件学报*, 2010, 21(2): 218–230.
- [13] RANA M, PANCHAL A, PANCHAL S. Checkpointing based rollback recovery in distributed systems [J]. *Journal of Current Computer Science and Technology*, 2011, 1(6): 45–49.
- [14] 汪东升, 沈美明, 郑绵平, 等. 一种基于检查点的卷回恢复与进程迁移系统 [J]. *软件学报*, 1999, 10(1): 68–73.
- [15] 汪东升, 邵明璇. 具有 $O(n)$ 消息复杂度的协调检查点设置算法 [J]. *软件学报*, 2003, 14(1): 43–48.

(上接第 2747 页)

3 结语

本文针对二维标量双曲守恒律方程的数值求解, 构造出 CWENO 型-熵相容数值求解格式, 通过对两个数值算例的分析与讨论, 所得结论如下:

- 1) 该数值求解格式能准确捕捉激波, 对稀疏波计算结果与准确解吻合很好, 且能有效避免非物理振荡的产生;
- 2) 该数值求解格式具有强稳定性, CFL 条件数可以取为 0.6, 所得结果依旧可靠。

本文所构造的数值求解格式是针对二维标量双曲型方程设计的, 但文中所采用的 CWENO 格式以及优化 TVD Runge-Kutta 格式均易于向高维和方程组推广。本文作者正在将该高性能算法向高维双曲型方程及方程组情形推广。

参考文献:

- [1] JIANG GUANG-SHAN, WANG SHUN CHI. Efficient implementation of weighted ENO schemes [J]. *Journal of Computational Physics*, 1996, 126(1): 202–228.
- [2] ZHANG XIANGXIONG, LIU YUANYUAN, SHU CHI-WANG. Maximum-principle-satisfying high order finite volume weighted essentially nonoscillatory schemes for convection-diffusion equations [J]. *SIAM Journal on Scientific Computing*, 2012, 34(2): 627–658.
- [3] LEVY D, PUPPO G, RUSSO G. A third order central WENO scheme for 2D conservation laws [J]. *Applied Numerical Mathematics*, 2000, 33(1/2/3/4): 415–421.
- [4] KURGANOV A, LEVY D. A third-order semi-discrete central scheme for conservation laws and convection diffusion equations [J]. *SIAM Journal on Scientific Computing*, 2000, 22(4): 1461–1488.
- [5] TADMOR E. Numerical viscosity and the entropy condition for conservative difference schemes [J]. *Mathematics of Computation*, 1984, 43(168): 369–381.
- [6] TADMOR E. The numerical viscosity of entropy stable schemes for systems of conservation laws [J]. *Mathematics of Computation*, 1987, 49(179): 91–103.
- [7] LEFLOCH P-G, ROHDE C H. High-order schemes, entropy inequalities and nonclassical shocks [J]. *SIAM Journal on Numerical Analysis*, 2000, 37(6): 2023–2060.
- [8] LUKÁÉOVÁ M, TADMOR E. On the entropy stability of Roe-type finite volume methods [EB/OL]. [2012-01-01]. <http://www.docin.com/p-75822789.html>.
- [9] ISMAIL F, ROE P L. Affordable, entropy-consistent Euler flux functions II: Entropy production at shocks [J]. *Journal of Computational Physics*, 2009, 228(15): 5410–5436.
- [10] FJORDHOLM U-S, MISHRA S, TADMOR E. Entropy stable ENO scheme [EB/OL]. [2012-02-01]. <ftp://ftp.sam.math.ethz.ch/pub/sam-reports/.../2011-05.pdf>.
- [11] FJORDHOLM U-S, MISHRA S, TADMOR E. Arbitrarily high-order accurate entropy stable essentially non-oscillatory schemes for systems of conservation laws [J]. *SIAM Journal on Numerical Analysis*, 2012, 50(2): 544–573.
- [12] 李红霞. 一维守恒型方程(组)的熵耗散格式 [D]. 上海: 上海大学, 2000.
- [13] 陈荣三. 双曲守恒型方程若干数值方法研究 [D]. 上海: 上海大学, 2009.
- [14] 罗力, 封建湖, 唐小娟, 等. 求解双曲守恒律方程的高分辨率熵稳定格式 [J]. *计算物理*, 2010, 27(5): 671–678.
- [15] LEVY D, PUPPO G, RUSSO G. A fourth-order central WENO scheme for multi-dimensional hyperbolic systems of conservation laws [J]. *SIAM Journal on Scientific Computing*, 2002, 24(2): 480–506.